

Третьяк А. В.  
(ДонНАСА, г. Макеевка, Україна)

## ТЕОРЕТИЧЕСКИЕ ИССЛЕДОВАНИЯ ПРОЦЕССА ВОЗНИКНОВЕНИЯ СТАТИЧЕСКОГО СКАЧКА НАТЯЖЕНИЯ В ЛЕНТЕ ОСТАНОВЛЕННОГО КОНВЕЙЕРА ВО ВРЕМЯ ИЗМЕНЕНИЯ ЕГО ДЛИНЫ ТРАНСПОРТИРОВАНИЯ

В статье рассмотрен процесс распространения квазистатической волны упругой деформации в ленте остановленного конвейера, во время изменения его длины транспортирования. Приведена зависимость для определения возникающего при этом статического скачка натяжения ленты. По результатам исследований построен график изменения численного значения скачка статического натяжения ленты для конвейера 1ЛТП 80, в зависимости от скорости передвижной станции и предварительного натяжения ленты.

**Ключевые слова:** ленточный конвейер, статический скачок натяжения, изменение длины транспортирования, натяжное устройство, квазистатическая волна упругой деформации.

**Постановка задачи.** В последнее время в скоростных проходческих забоях стали применять ленточные конвейеры с изменяющейся длиной транспортирования. Замечено, что во время удлинения остановленного конвейера имеют место порывы ленты. Также замечено, что, если удлинять работающий конвейер, порывов ленты нет.

В работе [1] указывается, что во время удлинения работающего конвейера, возникает статический скачок натяжения. Очевидно, что во время удлинения остановленного конвейера также возникает статический скачок натяжения ленты. Определение аналитических зависимостей для расчета статического скачка натяжения ленты, возникающего во время удлинения остановленного конвейера, позволит выполнить сравнительный анализ режимов работы, дать рекомендации по правильной эксплуатации конвейера.

**Цель работы** — установить теоретические зависимости для определения стати-

ческого скачка натяжения в ленте, возникающего во время изменения длины транспортирования остановленного конвейера.

**Изложение материала и его результаты.** Экспериментальные исследования, выполненные на кафедре ПТМ Донбасской национальной академии строительства и архитектуры показали, что во время изменения длины транспортирования конвейера скачок натяжения в ленте при остановленном конвейере больше, чем при работающем [2].

В работе [3] указывается, что процесс пуска ленточного конвейера состоит из двух фаз: фазы трогания и фазы разгона ленты. Подобная картина происходит при удлинении остановленного конвейера.

На рисунке 1 приведена схема изменения статических натяжений в ленте, во время удлинения остановленного конвейера, в конце фазы трогания.

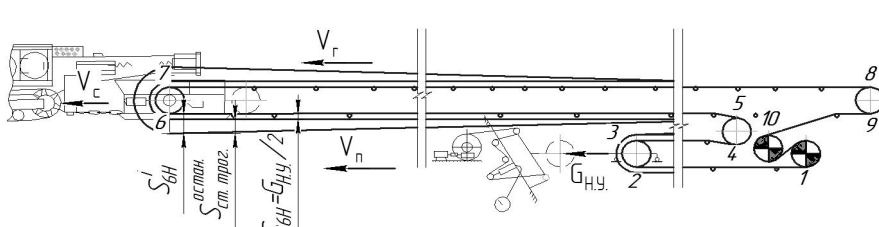


Рисунок 1 — Схема изменения статических натяжений в ленте во время изменения длины транспортирования остановленного конвейера в конце фазы трогания

## РОЗРОБКА КОРИСНИХ КОПАЛИН

Градиент статического натяжения ленты до начала движения передвижной станции:

$$c = (S_{6H} - S_{3H}) / l_{3-6} \quad (H/m), \quad (1)$$

где  $S_{3H} = S_{6H} = G_{H.y} / 2$  начальное статическое натяжение ленты в точках 6 и 3;  $G_{H.y}$  — усилие натяжного устройства. Соответственно, до начала движения передвижной станции  $c = 0$ .

Градиент статического натяжения ленты при движении передвижной станции:

$$z = (S'_6 - S'_3) / l_{3-6} \quad (H/m). \quad (2)$$

Статическое натяжение ленты в точке 6 при движении передвижной станции:

$$S'_6 = g [(\rho_a + q''_p) \omega' \cdot \cos \beta \pm \rho_a \sin \beta] \cdot l_{3-6} + \\ + G_{H.y} / 2 \quad (H),$$

где  $\rho_a$  — погонная масса ленты,  $q''$  — погонная масса роликов.

Статическое натяжение ленты в точке 3 при движении передвижной станции:

$$S'_3 = G_{H.y} / 2 \quad (H).$$

Выполнив подстановку, определим градиент статического натяжения ленты при движении передвижной станции:

$$z = g (\rho_a + q''_p) \omega' \cdot \cos \beta \pm \\ \pm \rho_a \sin \beta \quad (H/m). \quad (3)$$

Разность градиентов статического натяжения ленты неработающего конвейера

до начала движения передвижной станции и после:

$$(z - c) = g [(\rho_a + q''_p) \omega' \cdot \cos \beta \pm \rho_a \sin \beta] (H/m) \\ (z - c) = \Omega_p (H/m). \quad (4)$$

Увеличение статического натяжения ленты, возникающее во время изменения длины транспортирования остановленного конвейера в период фазы трогания:

$$S_{CT.TROG}^{OCTAH} = \Omega_p \cdot l_{3-6} \quad (H).$$

Фаза трогания существует до момента прихода волны упругой деформации растяжения от барабана передвижной станции к натяжному устройству. После этого возникает фаза разгона, мы как бы рассматриваем изменение длины транспортирования уже в работающем конвейере.

Воспользовавшись методикой, приведенной в работе [1], определим возникающий скачок статического натяжения ленты в период фазы разгона остановленного конвейера.

На рисунке 2 приведена схема изменения статических натяжений в ленте остановленного конвейера в период фазы разгона. За начало отсчета координаты фронта волны на порожней ветви примем точку 6, а на грузовой — точку 7 (рис. 2). Обозначим координату фронта волны величиной  $x$ .

Рассмотрим распространение упругой квазистатической волны деформации вдоль тягового органа для порожней ветви (рис. 3).

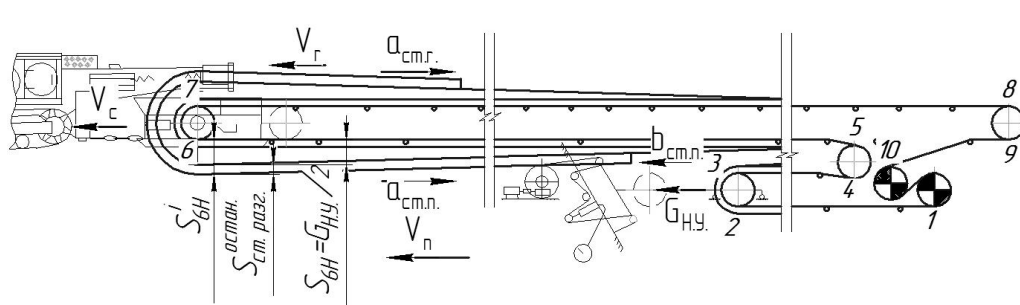


Рисунок 2 — Схема изменения статических натяжений в ленте во время изменения длины транспортирования остановленного конвейера в период фазы разгона

## РОЗРОБКА КОРИСНИХ КОПАЛИН

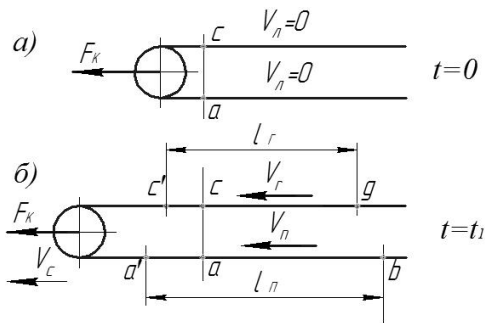


Рисунок 3 — Схема перемещения квазистатической волны упругой деформации вдоль тягового органа при остановленном конвейере

Пусть время  $t = 0$  соответствует началу приложения перемещающей силы (рис. 3a). С этого момента от точки «*a*» вдоль тягового органа начинает перемещаться квазистатическая волна деформации.

К моменту времени  $t = t_1$  (рис. 3б) точка «*a*» прошла путь «*aa'*», а фронт волны достиг точки «*b*».

Натяжение в любой точке этого участка

$$S = \Omega_{\Pi} \cdot x + G_{H,Y} / 2 + S_{CT.PA3}^{OCTAH} (H). \quad (5)$$

Обозначим:

$$G_{H,Y} / 2 + S_{CT.PA3}^{OCTAH} = M (H),$$

где  $S_{CT.PA3}^{OCTAH}$  — увеличение статического натяжения ленты, возникающее во время изменения длины транспортирования остановленного конвейера, в период фазы разгона. Определим величину деформации  $\Delta l$  участка «*ab*». Поскольку натяжение, действующее на рассматриваемый элемент  $dx$  на порожней ветви, равно  $\Omega_{\Pi} \cdot x + M$  (рис. 4a).

Деформация элемента равна:

$$d\Delta l = (\Omega_{\Pi} \cdot x + M)dx / E_{0,CT}.$$

Удлинение всего участка:

$$\begin{aligned} \Delta l &= \int_0^l (\Omega_{\Pi} \cdot x + M)dx / E_{0,CT} = \\ &= (\Omega_{\Pi} \cdot l^2 + 2Ml) / 2E_{0,CT}. \end{aligned}$$

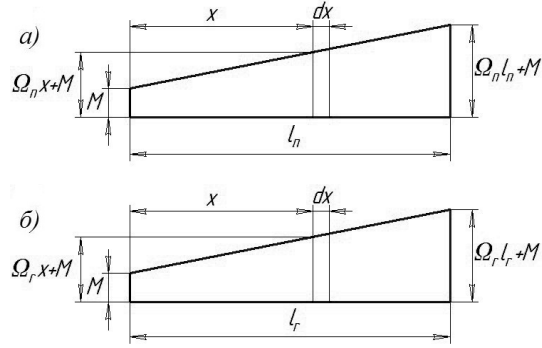


Рисунок 4 — Графики изменения натяжений ленты при остановленном конвейере, в порожней (а) и грузовой (б) ветвях

Продифференцировав по  $t$  и отметив, что  $d\Delta l/dt$  есть скорость тягового органа порожней ветви в точке «*a*»,  $dl/dt$  — искомая скорость распространения упругой квазистатической волны деформации растяжения на порожней ветви, получим:

$$a_{CT,\Pi} = \frac{V_{\Pi} \cdot E_{0,CT}}{\Omega_{\Pi} \cdot l + M} (m/c). \quad (6)$$

Скорость распространения упругой квазистатической волны деформации сжатия порожней ветви будет иметь вид:

$$b_{CT,\Pi} = \frac{V_{\Pi} \cdot E_{0,CT}}{\Omega_{\Pi} \cdot l + G_{H,Y}/2} (m/c). \quad (7)$$

Рассмотрим распространение упругой квазистатической волны деформации вдоль тягового органа грузовой ветви, в данном случае волны растяжения.

Пусть момент времени  $t = 0$  соответствует началу приложения перемещающей силы (рис. 3a). Начиная с этого момента от точки «*c*» вдоль тягового органа начинает перемещаться квазистатическая волна деформации.

В момент времени  $t = t_1$  точка «*c*» прошла путь «*cc'*», а фронт волны достиг точки «*g*» (рис. 3б).

Натяжение тягового органа на этом участке:

$$S = \Omega_{\Gamma} \cdot x + G_{H,Y} / 2 + S_{CT.PA3}^{OCTAH} (H). \quad (8)$$

Определим величину деформации  $\Delta l$

## РОЗРОБКА КОРИСНИХ КОПАЛИН

участка «*сг*». Выделим элемент  $dx$  на расстоянии  $x$  от точки «*г*» (рис. 4б).

Поскольку натяжение, действующее на рассматриваемый элемент  $dx$  равно  $\Omega_\Gamma \cdot x + M$  (рис. 4б), то деформация элемента грузовой ветви:

$$d\Delta l = (\Omega_\Gamma \cdot x + M)dx / E_{0,CT} .$$

Удлинение всего участка «*сг*»:

$$\begin{aligned} \Delta l &= \int_0^l (\Omega_\Gamma \cdot x + M)dx / E_{0,CT} = \\ &= (\Omega_\Gamma \cdot l^2 + 2Ml) / 2E_{0,CT} . \end{aligned}$$

Дифференцируя это выражение по  $t$ , получим:

$$\frac{d\Delta l}{dt} = \frac{\Omega_\Gamma \cdot l}{E_{0,CT}} \cdot \frac{dl}{dt} + \frac{M}{E_{0,CT}} \cdot \frac{dl}{dt} .$$

Здесь  $d\Delta l/dt$  — скорость перемещения тягового органа грузовой ветви в точке «*с*», а  $dl/dt$  — искомая скорость распространения упругой квазистатической волны деформации растяжения на грузовой ветви. Отсюда, скорость распространения упругой квазистатической волны деформации растяжения на грузовой ветви:

$$a_{CT,\Gamma} = \frac{V_\Gamma \cdot E_{0,CT}}{\Omega_\Gamma \cdot l + M} (m/c) . \quad (9)$$

Так как скорость движения ленты на порожней ветви может иметь значения  $V_\Pi \leq 2V_C$  то скорость движения точки «*с*» на грузовой ветви  $V_\Gamma = 2V_C - V_\Pi$  ( $m/c$ ). Вследствие различия скоростей упругих квазистатических волн деформаций на грузовой и порожней ветвях конвейера после приложения перемещающей силы, время начала движения сжатия на грузовой ветви  $t_{P.P.CT}$  наступает после окончания движения волны растяжения  $t_{P.P.CT}$  и сжатия  $t_{P.C.CT}$  на порожней ветви и срабатывания натяжного устройства  $t_{H.y}$ .

$$t_{P.P.CT} = t_{P.P.CT} + t_{P.C.CT} + t_{H.y} (c) . \quad (10)$$

Время движения квазистатической волны растяжения на порожней ветви от точки 6 к точке 3:

$$\begin{aligned} t_{P.P.CT} &= \int_0^{l_{(3-6)}} \frac{\Omega_\Pi x + M}{V_\Pi E_{0,CT}} dx = \\ &= \frac{\Omega_\Pi l_{(3-6)}^2 + 2Ml_{(3-6)}}{2V_\Pi E_{0,CT}} (c) . \end{aligned} \quad (11)$$

Время движения квазистатической волны сжатия на порожней ветви от точки 3 к точке 6:

$$\begin{aligned} t_{P.C.CT} &= \int_0^{l_{(3-6)}} \frac{\Omega_\Pi x + G_{H.y}/2}{V_\Pi E_{0,CT}} dx = \\ &= \frac{\Omega_\Pi l_{(3-6)}^2 + G_{H.y}l_{(3-6)}}{2V_\Pi E_{0,CT}} (c) . \end{aligned} \quad (12)$$

Подставив полученные выражения в формулу (10), приняв допущение что  $t_{H.y} = 0$  и выполнив преобразования, получим:

$$\begin{aligned} \Omega_\Gamma l^2 + 2Ml - \frac{V_\Gamma}{V_\Pi} 2l_{(3-6)} \times \\ \times (\Omega_\Pi l_{(3-6)} + M + \frac{G_{H.y}}{2}) = 0 (H/m) . \end{aligned} \quad (13)$$

Из уравнения (13) определим величину длины распространения упругой квазистатической волны деформации растяжения на грузовой ветви.

$$l = \frac{\sqrt{M^2 + K\Omega_\Gamma} - M}{\Omega_\Gamma} (m) , \quad (14)$$

где

$$\begin{aligned} K &= \frac{V_\Gamma}{V_\Pi} 2l_{(3-6)} (\Omega_\Pi l_{(3-6)} + M + \\ &+ \frac{G_{H.y}}{2}) (H/m) . \end{aligned} \quad (15)$$

В конвейере, имеющем бесконечно большую длину, грузовую ветвь можно рассматривать как закрепленный одним концом изотропно-упругий стержень.

Согласно закону Гука, возникающее приращение натяжения, при удлинении тягового органа (стержня):

$$S_{CT.PA3}^{OCSTAH} = \varepsilon_\Gamma E_{0,CT} (H) . \quad (16)$$

## РОЗРОБКА КОРИСНИХ КОПАЛИН

Относительное удлинение грузовой ветви тягового органа:

$$\varepsilon_\Gamma = \Delta x_\Gamma / l. \quad (17)$$

Абсолютное удлинение грузовой ветви конвейера во время перемещения станции:

$$\Delta x_\Gamma = V_C \cdot t_{\Gamma.P.CT} \text{ (м).} \quad (18)$$

Подставив уравнения (11), (12) в уравнение (10) и упростив его через  $K$  (15) при  $t_{H.Y} = 0$ , получим:

$$t_{\Gamma.P.CT} = \frac{K}{2V_\Gamma E_{0.CT}} \text{ (с).} \quad (19)$$

Подставив уравнения (19), (18), (17), (14) в уравнение (16), получим:

$$S_{CT.PA3}^{OCTAH} = \frac{V_C}{2V_\Gamma} \cdot \frac{K\Omega_\Gamma}{\sqrt{M^2 + K\Omega_\Gamma} - M} (H). \quad (20)$$

Выделив из величин  $K$  и  $M$  величину  $S_{CT.PA3}^{OCTAH}$  и сделав преобразования, получим:

$$(S_{CT.PA3}^{OCTAH})^2 2V_\Gamma (V_\Gamma - V_C) - S_{CT.PA3}^{OCTAH} \times \\ \times V_C \left( V_C \Omega_\Gamma l_{(3-6)} + V_\Pi \frac{G_{H.Y}}{2} \right) - \\ - V_C^2 \Omega_\Gamma l_{(3-6)} (\Omega_\Pi l_{(3-6)} + G_{H.Y}) = \\ = 0 \text{ (} H^2 \cdot m^2 / c^2 \text{).} \quad (21)$$

Решая и преобразовывая уравнение (21) получим:

$$S_{CT.PA3}^{OCTAH} = \frac{N + \sqrt{N^2 + Z}}{4V_\Pi (V_\Gamma - V_C)} (H). \quad (22)$$

Учитывая векторный характер скорости ленты на порожней и груженой ветвях, величину  $(V_\Gamma - V_C)$  в зависимости (22), необходимо брать по абсолютной величине. Подставив значение  $V_\Gamma = 2V_C - V_\Pi$  и выполнив преобразования, получим:

$$S_{CT.PA3}^{OCTAH} = \frac{N + \sqrt{N^2 + Z}}{4V_\Pi (V_C - V_\Pi)} (H), \quad (23)$$

где

$$N = V_C \left( V_C \Omega_\Gamma l_{(3-6)} + V_\Pi \frac{G_{H.Y}}{2} \right) (H \cdot m^2 / c^2)$$

$$Z = 8V_\Pi V_C^2 \Omega_\Gamma |(V_C - V_\Pi)| \times \\ \times \left( \Omega_\Pi l_{(3-6)}^2 + G_{H.Y} l_{(3-6)} \right) (H^2 \cdot m^4 / c^4).$$

Величина скачка статического натяжения ленты во время удлинения остановленного конвейера равна:

$$S_{CT}^{OCTAH} = S_{CT.TP0G}^{OCTAH} + S_{CT.PA3}^{OCTAH}.$$

Применим к конвейеру 1ЛТП 80 с длиной транспортирования 150 (м), углом установки  $\beta = 0^\circ$  был получен график изменения скачка статического натяжения ленты, в зависимости от скорости перемещения передвижной станции и усилия натяжного устройства (рис. 5).

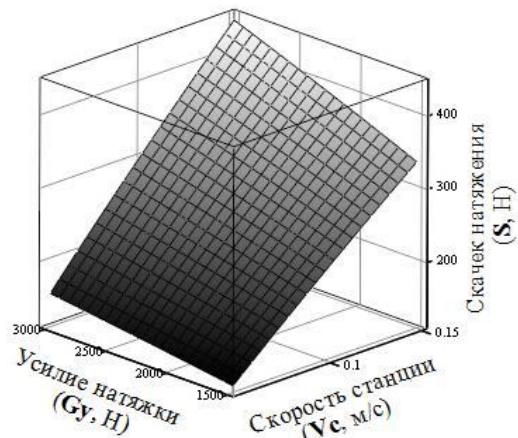


Рисунок 5 — График теоретической зависимости статического скачка натяжения в ленте конвейера от скорости передвижной станции и усилия натяжного устройства

**Выводы:** Полученные теоретические зависимости показывают, что скорость изменения длины транспортирования и усилие натяжного устройства существенно влияют на величину статического скачка натяжения в ленте остановленного конвейера во время его удлинения.

Также эти зависимости позволяют дать правильные рекомендации при выборе режима изменения длины транспортирования конвейера.

**Библиографический список**

1. Гаврюков А. В. Теория и практика использования ленточных конвейеров, работающих при изменяющейся длине: [монография] / А. В. Гаврюков. — Макеевка: ДонНАСА, 2007. — 119 с.
2. Третьяк А. В. Исследование динамической нагруженности ленты конвейера с изменяющейся длиной транспортирования в процессе его удлинения / А. В. Третьяк // Наукові праці ДонНТУ. Серія: «Гірнико-електромеханічна». — 2013. — Вип. 1(25). — С. 191–200.
3. Кузнецов Б. А. Динамика пуска длинных ленточных конвейеров / Б. А. Кузнецов // Кн.: Транспорт шахт и карьеров. — М.: Недра, 1971. — С. 27–41.

*Рекомендована к печати д.т.н., проф. ДонГТУ Корнеевим С. В.,  
д.т.н., проф. ДонНАСА Кондрахиним В. П.*

Статья поступила в редакцию 27.02.14.

Трет'як А. В. (ДонНАБА, м. Макіївка, Україна, E-mail: andriuhamaster@ya.ru)

**ТЕОРЕТИЧНІ ДОСЛІДЖЕННЯ ПРОЦЕСУ ВИНИКНЕННЯ СТАТИЧНОГО СТРИБКА НАТЯГУ В СТРІЧЦІ ЗУПИНЕНОГО КОНВЕЄРА ПІД ЧАС ЗМІНИ ЙОГО ДОВЖИНИ ТРАНСПОРТУВАННЯ**

У статті розглянуто процес поширення квазістатичної хвилі пружної деформації в стрічці зупиненого конвеєра, під час зміни його довжини транспортування. Наведена залежність для визначення виникаючого при цьому статичного стрибка натягу стрічки. За результатами досліджень побудованій графік зміни чисельного значення стрибка статичного натягу стрічки для конвеєра ІЛТП 80, в залежності від швидкості пересувної станції і попереднього натягу стрічки.

**Ключові слова:** стрічковий конвеєр, статичний стрибок натягу, зміна довжини транспортування, натяжний пристрій, квазістатична хвиля пружної деформації.

Tretiak A. V. (DonNACEA Makeyevka, Ukraine, andriuhamaster@ya.ru)

**THEORETICAL STUDY OF THE ORIGINATION PROCESS OF TENSION STATIC JUMP IN THE STOPPED CONVEYER BELT WHILE CHANGING ITS CONVEYANCE LENGTH**

The propagation process of quasi-static wave of elastic strain in the stopped conveyor belt while changing its conveyance length is examined in the article. Dependence to determine a static jump belt tension which occurs in this case is presented. According to the studies, the diagram of changing of numeral value of static jump belt tension for the conveyor ILTP 80 is graphed depending on the speed of the mobile station and belt pretensioning.

**Key words:** belt conveyor, static jump tension, changing of the conveyance length, tensioner, quasi-static wave of elastic strain.